

## 脑桥小脑角听神经瘤和脑膜瘤的碰撞瘤一例

师炜 王姗 姚晶晶 郭毅 杨学军

【关键词】 神经纤维瘤病 2 型； 神经瘤，听； 脑膜瘤； 病例报告

【Key words】 Neurofibromatosis 2； Neuroma, acoustic； Meningioma； Case reports

### A collision of vestibular schwannoma and meningioma in the cerebellopontine angle: one case report

SHI Wei<sup>1</sup>, WANG Shan<sup>2</sup>, YAO Jing-jing<sup>3</sup>, GUO Yi<sup>1</sup>, YANG Xue-jun<sup>1</sup>

<sup>1</sup>Department of Neurosurgery, <sup>2</sup>Department of Pathology, Beijing Tsinghua Changgung Hospital, School of Clinical Medicine, Tsinghua University, Beijing 102218, China

<sup>3</sup>Department of Mathematics and Statistics, University of San Francisco, San Francisco 94117, California, USA

Corresponding author: YANG Xue-jun (Email: ydenny@126.com)

Conflicts of interest: none declared

患者 女性, 30 岁。因颅内及椎管内多发神经纤维瘤切除术后 17 年, 左耳耳鸣伴听力下降 2 个月, 于 2018 年 9 月 6 日入院。患者 17 年前无明显诱因出现右下肢无力, 当地医院全脊椎 MRI 检查 (2001 年 5 月 23 日) 显示椎管内髓外硬膜下多发占位, 考虑患者无力症状因 C<sub>3</sub> 椎管内较大体积占位性病变压迫所致, 予以手术切除, 术后病理提示神经纤维瘤; 术后为进一步筛查行头部 MRI 检查, 显示颅内幕上及幕下多发占位, 双侧脑桥小脑角区占位, 考虑“II 型神经纤维瘤病(NF2)”, 由于左侧脑桥小脑角区占位性病变体积较大, 于 2001 年 12 月 3 日在当地医院行局部立体定向放射治疗 (具体方案及剂量不详); 此后每年复查一次, 发现颅内及椎管内多发占位进行性增多、增大, 于 2016 年 12 月 16 日及 2017 年 5 月 17 日在当地医院分别行 L<sub>3-4</sub> 椎管内占位性病变切除术及左侧小脑占位性病变切除术, 术后病理分别提示为神经鞘瘤和纤维型脑膜瘤; 2 个月前无明显诱因突发左耳“蝉鸣”样耳鸣, 间歇发作, 伴左耳听力减退, 左侧面部麻木, 行走不稳, 向左侧偏斜。患病期间无恶心、呕吐, 无肢体无力、视物不清、意识障碍等症状。为求进一步诊断与治疗, 于

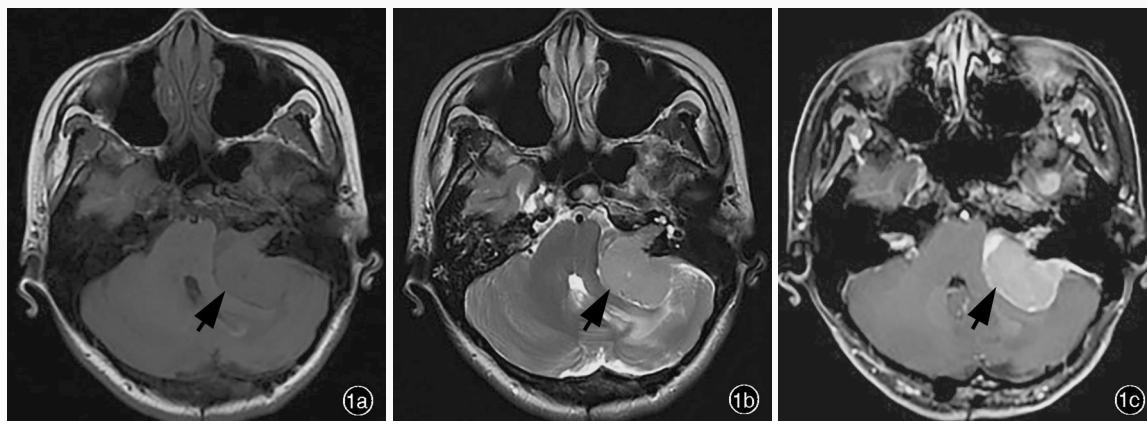
2018 年 9 月 4 日至我院就诊, 门诊以“颅内多发占位性病变”收入院。患者自发病以来, 精神、饮食、睡眠尚可。既往史、个人史及家族史均无特殊。

入院后诊断与治疗经过 体格检查: 体温 36.4 ℃, 心率 78 次/min, 呼吸 15 次/min, 血压为 112/68 mm Hg (1 mm Hg = 0.133 kPa), 心、肺、腹部检查无明显异常。神志清楚, 语言流利; 双侧瞳孔等大、等圆, 直径约为 2.50 mm, 对光反射灵敏, 各向眼动充分, 无眼震; 双耳听力粗测减退, 以左侧为著; 左侧面部浅感觉减退, 左侧 House-Brackmann (H-B) 分级 II 级, 伸舌居中; 四肢肌力、肌张力、腱反射正常; 左侧指鼻试验、跟-膝-胫试验欠稳准, Romberg 征阳性, Babinski 征阴性, 脑膜刺激征阴性。纯音测听检查显示左耳感音神经性听力减退, 言语识别率 (SDS) 显著降低。脑干听觉诱发电位 (BAEP) 显示左侧 V 波波幅降低, 潜伏期延长, 提示蜗后病变。实验室检查无明显异常。影像学检查: 头部 MRI 显示双侧听神经不规则膨大, 左侧脑桥小脑角区类圆形等 T<sub>1</sub>、稍长 T<sub>2</sub> 信号影, 边界清晰, 大小约 3.10 cm × 3.70 cm × 3.20 cm, 邻近脑干及小脑受压向内侧移位, 增强后可见病灶显著均匀强化 (图 1), 考虑“双侧听神经瘤”。综合临床症状、病史及辅助检查诊断为 II 型神经纤维瘤病, 于 2018 年 9 月 18 日在全身麻醉下经左侧枕下乙状窦后入路行脑桥小脑角肿瘤切除术, 显微镜下可见病灶质地柔软, 呈灰红色, 血供较丰富, 广基底附着于岩骨背侧硬膜, 并延续至小脑幕, 断基底及血供后分块切除外侧肿瘤; 深

doi: 10.3969/j.issn.1672-6731.2022.12.009

作者单位: 102218 清华大学附属北京清华长庚医院神经外科  
清华大学临床医学院 (师炜、杨学军、郭毅), 病理科 (姚晶晶);  
94117 美国旧金山大学数学与统计系 (王姗)

通讯作者: 杨学军, Email: ydenny@126.com



**图 1** 术前头部 MRI 检查所见 1a 横断面 T<sub>1</sub>WI 显示左侧脑桥小脑角及双侧内听道占位性病变呈等信号影(箭头所示), 邻近左侧桥臂、脑干受压 1b 横断面 T<sub>2</sub>WI 显示左侧脑桥小脑角及双侧内听道占位性病变呈稍高信号影(箭头所示), 左侧病变压迫同侧桥臂及小脑, 可见左侧小脑水肿 1c 横断面抑脂增强 T<sub>1</sub>WI 显示上述病灶呈显著不均匀强化征象(箭头所示)

**Figure 1** Preoperative head MRI findings Axial T<sub>1</sub>WI showed isointensity in left CPA and bilateral internal auditory canal (arrow indicates), adjacent left brachium pontis and brain stem were compressed (Panel 1a). Axial T<sub>2</sub>WI showed slightly hyperintensity in the left CPA and bilateral internal auditory canal (arrow indicates), the left lesion compressed the ipsilateral pontine arm and cerebellum, and the left cerebellum had edema (Panel 1b). Axial fat suppression enhanced T<sub>1</sub>WI showed significantly homogeneous enhancement (arrow indicates, Panel 1c).

部肿瘤切除前通过神经电生理监测分辨面神经, 发现面神经被肿瘤推挤向腹侧, 保护面神经并继续切除肿瘤; 由于部分深部肿瘤与面神经粘连紧密并嵌入面神经, 仔细分离与面神经粘连的肿瘤组织, 切除后送检, 最后小心磨除内听道后嵴, 次全切除内听道内残留肿瘤。手术顺利, 面神经解剖保留完好, 术毕转至重症监护病房(ICU), 予脱水降低颅内压、补液、抗感染等治疗。术后病理检查结果: 大体标本观察, 手术切除标本包含两种肿瘤组织, 二者紧密相连, 边界清晰。HE 染色, 神经鞘瘤细胞呈梭形, 细胞排列疏密不均, 部分胞核呈轻度异形性, 部分淋巴细胞浸润; 脑膜瘤细胞呈上皮样及梭形, 呈“漩涡”样及“流水”样排列, 可见散在砂粒体(图 2a)。免疫组化染色(EnVision 二步法), 神经鞘瘤细胞胞核表达 S-100 蛋白(S-100), 胞质表达波形蛋白(Vim), 不表达孕激素受体(PR)、上皮膜抗原(EMA), Ki-67 抗原标记指数约为 1%(图 2b); 脑膜瘤细胞胞核表达 PR, 胞质表达 Vim, 胞膜表达 EMA, 不表达 S-100, Ki-67 抗原标记指数约为 4%(图 2c)。病理诊断为左侧脑桥小脑角碰撞瘤[神经鞘瘤与过渡型脑膜瘤(WHO I 级)]。患者术后恢复良好, 听神经功能障碍未进一步加重, 且未出现新发神经功能障碍。患者共住院 19 天, 于 2018 年 9 月 25 日出院, 出院时一般状况良好, 无口服药物。出院 4 年

(2022 年 9 月 7 日)门诊复查, 无特殊不适, 头部 MRI 检查显示左侧内听道少量肿瘤残留, 右侧内听道病变无明显变化, 未见明确肿瘤复发及进展(图 3)。

## 讨 论

颅内碰撞瘤系颅内同一部位发生的具有两种不同组织成分的肿瘤, 形态学上无组织移行关系, 临床罕见<sup>[1]</sup>, 其中主要为胶质瘤和脑膜瘤的颅内碰撞瘤<sup>[2-3]</sup>。听神经瘤是脑桥小脑角区最常见的良性肿瘤, 又称前庭神经鞘瘤, 是一种典型的神经鞘瘤, 约占该部位全部肿瘤类型的 80%, 脑膜瘤占 10%~15%<sup>[4-6]</sup>, 但发生于此区域的听神经瘤与脑膜瘤的碰撞瘤鲜有报道。脑桥小脑角区同时出现神经鞘瘤和脑膜瘤通常发生于 II 型神经纤维瘤病等神经皮肤综合征患者中<sup>[7-8]</sup>。II 型神经纤维瘤病是一种罕见的常染色体显性遗传性疾病, 由定位于染色体 22q12.2 的 *NF2* 基因变异所致, 发病率约 1/33 000, 平均发病年龄为 30 岁<sup>[9-10]</sup>。II 型神经纤维瘤病累及中枢神经系统时常表现为双侧听神经瘤; 在一级直系亲属罹患 II 型神经纤维瘤病的遗传背景下, 可表现为单侧听神经瘤合并胶质瘤、脑膜瘤、晶状体后包膜下浑浊或颅内钙化等疾病<sup>[9-11]</sup>。

目前有关碰撞瘤的病理生理学机制尚不十分明确, 主要有以下几种学说: (1) 肿瘤微环境学说。

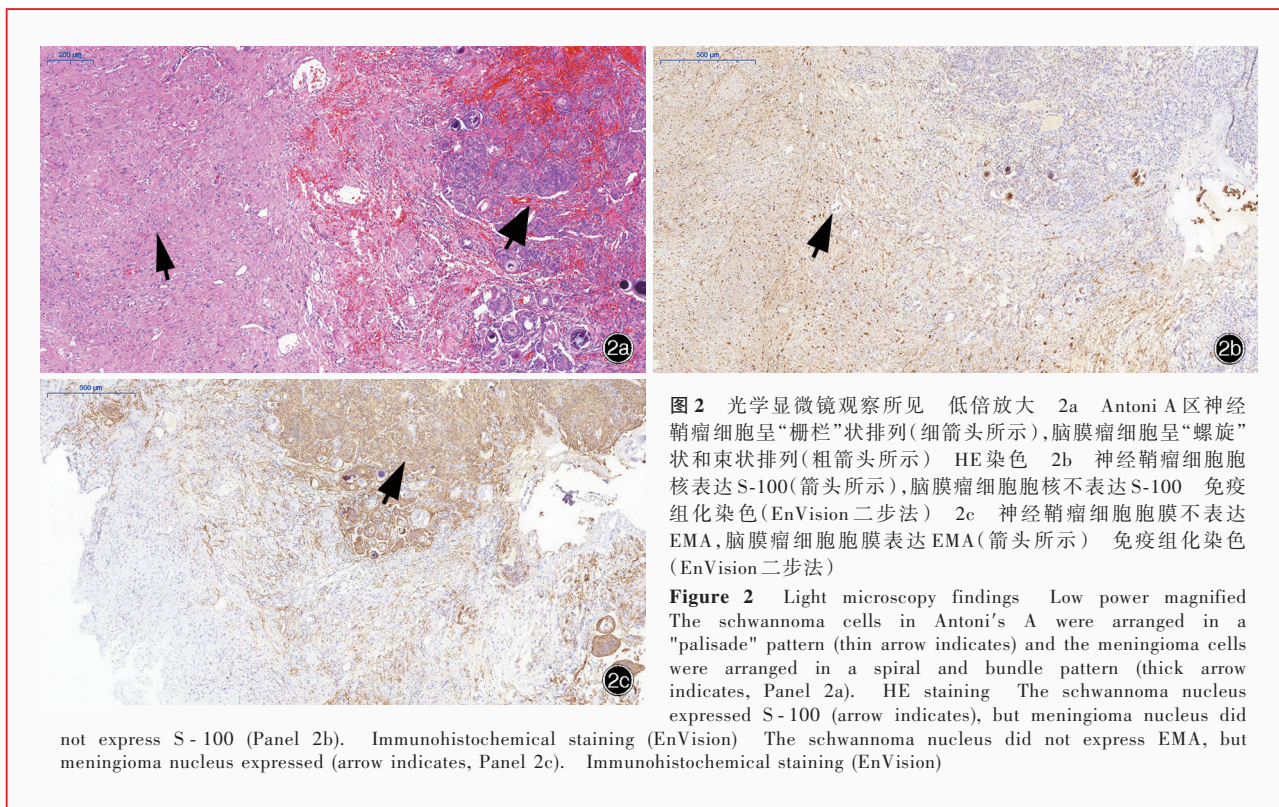


图 2 光学显微镜观察所见 低倍放大 2a Antoni A 区神经鞘瘤细胞呈“栅栏”状排列(细箭头所示),脑膜瘤细胞呈“螺旋”状和束状排列(粗箭头所示) HE 染色 2b 神经鞘瘤细胞核表达 S-100(箭头所示),脑膜瘤细胞核不表达 S-100 免疫组化染色(EnVision 二步法) 2c 神经鞘瘤细胞膜不表达 EMA,脑膜瘤细胞膜表达 EMA(箭头所示) 免疫组化染色(EnVision 二步法)

**Figure 2** Light microscopy findings Low power magnified The schwannoma cells in Antoni's A were arranged in a "palisade" pattern (thin arrow indicates) and the meningioma cells were arranged in a spiral and bundle pattern (thick arrow indicates, Panel 2a). HE staining The schwannoma nucleus expressed S - 100 (arrow indicates), but meningioma nucleus did not express S - 100 (Panel 2b). Immunohistochemical staining (EnVision) The schwannoma nucleus did not express EMA, but meningioma nucleus expressed (arrow indicates, Panel 2c). Immunohistochemical staining (EnVision)

一种肿瘤发生后通过改变周围微环境诱发另一种肿瘤<sup>[12-17]</sup>,神经鞘瘤通过引起相邻脑膜反应性改变,促进脑膜瘤发生发展;表现为双侧听神经瘤的神经纤维瘤病患者蛛网膜增生较单纯散发性听神经瘤患者更旺盛,可能是诱发脑膜瘤的关键因素<sup>[10,18]</sup>。(2)肿瘤遗传学说。第二代测序技术(NGS)发现,定位于第 22 号染色体长臂的 *merlin* 基因为脑膜瘤关键抑癌基因,该基因变异与脑膜瘤发生密切相关。*merlin* 基因通过调控 Rac-PAK、EGFR-Ras-ERK、PI3K-Akt、FAK-Src 等多种有丝分裂相关信号转导通路,活化 Hippo-YAP 信号转导通路,参与调控接触依赖抑制细胞增殖<sup>[19]</sup>;此外,*merlin* 基因可以与  $\alpha$ -钙调素和 Par-3 蛋白在细胞黏附连接形成的初始阶段发挥作用,并与血管抑素结合蛋白(AMOT)相互作用,协助细胞黏附。研究表明,II 型神经纤维瘤病患者脑膜瘤组织中 Wnt、EGFR 和细胞黏附相关信号通路存在异常,同时在听神经瘤患者中发现 *merlin* 基因缺失或失活<sup>[20]</sup>,因此脑膜瘤和听神经瘤可能在第 22 号染色体长臂的 *merlin* 基因变异中具有共同起源。(3)肿瘤发生学说。一种说法为碰撞瘤是由相同起源的间充质细胞差异分化形成两种不同类型的肿瘤细胞,最终发展成碰撞瘤<sup>[14,21-22]</sup>;另一种说法为同一部位两种不同类型细胞在共同的致癌因

素作用下发生癌变,最终发展为碰撞瘤<sup>[12,22]</sup>。(4)偶然并发学说。该学说认为碰撞瘤的形成是两种独立肿瘤在同一部位同时发生的一个巧合<sup>[23]</sup>。目前文献报道的碰撞瘤多为相应部位的常见肿瘤类型,由于该组织或器官相关肿瘤自身发病率高,因此发生碰撞的概率同样较高。(5)其他学说。研究发现,颅脑创伤、外科手术和放射治疗史可能是颅内碰撞瘤的潜在诱因。研究发现儿童时期接受放射治疗可显著增加神经鞘瘤发病率<sup>[24-26]</sup>。在 Ron 等<sup>[12]</sup>的研究中,共纳入 1948-1960 年在以色列接受放射治疗的 10 834 例儿童头癣患者,并以 5392 名未接受放射治疗的家族中其他成员作为对照,发现头癣患儿发生颅内神经鞘瘤( $RR = 18.800, P = 0.014$ )及脑膜瘤( $RR = 9.500, P = 0.038$ )的风险显著高于对照者,且放射治疗剂量与神经系统肿瘤发生风险存在剂量-反应关系。放射治疗史可能是本文患者潜在的危险因素,但遗憾的是未对患者及其家属进行全面的基因检测,具体病因仍未可知。

由于碰撞瘤的临床表现和影像学征象均无显著特异性,因此仅根据术前头部 MRI 检查难以对本文患者同一部位的两种肿瘤做出准确诊断,尤其是 II 型神经纤维瘤病患者可出现颅内多部位、多种肿瘤类型共存<sup>[27-29]</sup>。影像学上,神经鞘瘤常呈圆形或

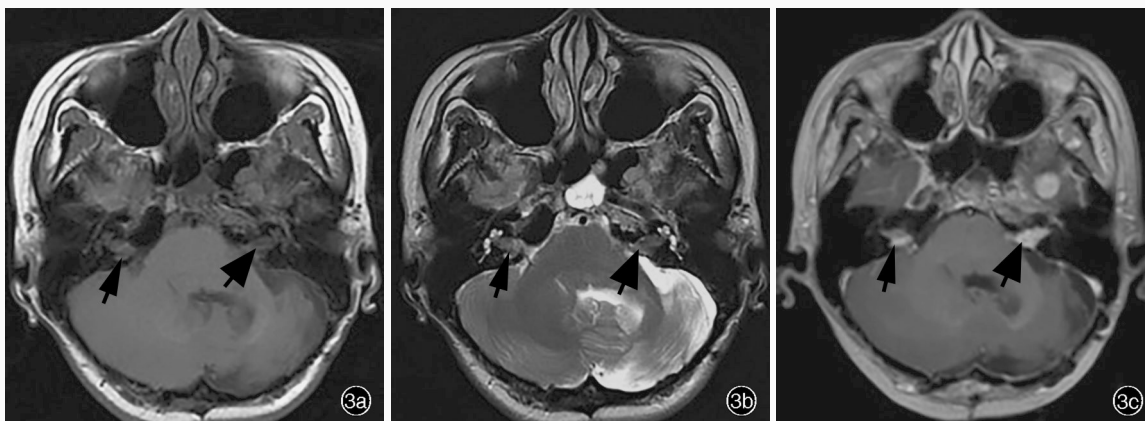


图3 出院4年头部MRI检查显示左侧脑桥小脑角脑膜瘤全切除(粗箭头所示),左侧听神经瘤近全切除,内听道沿面神经和前庭蜗神经走行部位少量肿瘤残留,右侧内听道病变无明显变化(细箭头所示) 3a 横断面T<sub>1</sub>WI 3b 横断面T<sub>2</sub>WI 3c 横断面抑脂增强T<sub>1</sub>WI

**Figure 3** Postoperative head MRI findings (September 7, 2022) showed gross-total resection of the left CPA meningioma (thick arrow indicates), sub-total resection of the left vestibular schwannoma, a small amount of residual tumor tissue in the internal auditory canal along the route of the facial acoustic nerve, and no change in the lesions of the right internal auditory canal compared with before (thin arrow indicates). Axial T<sub>1</sub>WI (Panel 3a). Axial T<sub>2</sub>WI (Panel 3b). Axial fat suppression enhanced T<sub>1</sub>WI (Panel 3c).

椭圆形,以内听道为中心生长,并引起内听道扩大,体积较大的神经鞘瘤常见囊性变,钙化罕见<sup>[30-31]</sup>;脑膜瘤则呈半圆或半椭圆形,基底较宽且多位于周围脑膜或颅底骨质,通常伴有“脑膜尾征”,不以内听道为中心生长,不引起内听道扩大,其内可见钙化,部分可出现局部颅骨硬化增生<sup>[6,32]</sup>;在T<sub>1</sub>WI上,神经鞘瘤和脑膜瘤通常表现为等或稍低信号;在T<sub>2</sub>WI上,神经鞘瘤表现为不均匀的高信号,而脑膜瘤则多表现为均匀的稍高信号;增强扫描后神经鞘瘤呈非均匀显著强化,而脑膜瘤多呈均匀中等强化<sup>[33-34]</sup>。本文患者术前影像学检查显示左侧脑桥小脑角区呈T<sub>1</sub>WI等信号、T<sub>2</sub>WI稍高信号,与既往研究相一致。然而,对于碰撞瘤这种空间相邻的病变,难以通过影像学检查鉴别,病理学检查仍是诊断的“金标准”。

随着现代显微外科手术、内镜技术、立体定向放射治疗技术、术前多模态影像学融合、术中电生理监测的进步,脑桥小脑角肿瘤的治疗方案日趋完善,并强调个体化治疗和多学科协作诊疗模式的重要性。尽管国内外均有采用立体定向放射外科治疗脑桥小脑角区肿瘤的报道,但对于体积较大的肿瘤,放射治疗后形成的水肿可能会导致颅内压升高,甚至出现脑疝;且深部肿瘤由于毗邻脑干、脑神经等重要结构,放射治疗引起的放射性损伤可导致严重的神经功能障碍,故外科手术目前仍是治疗脑

桥小脑角肿瘤的主要方式<sup>[35-38]</sup>。神经影像导航和听觉脑干诱发电位实时监测等辅助手段可有效减少术中肿瘤切除过程中的神经副损伤,提高手术精准性和安全性<sup>[39]</sup>。本文患者由于右侧听神经瘤体积较小,无临床症状及手术指征,且如果单纯为切除肿瘤,术后易出现听力损失,故未行手术切除,仅行左侧脑桥小脑角肿瘤切除术。

综上所述,颅内碰撞瘤临床少见,脑桥小脑角区听神经瘤和脑膜瘤的碰撞瘤更为罕见,其临床症状及影像学表现与该部位常见肿瘤无显著差异,易被忽视,明确诊断仍需术后的组织病理学检查,临床医师及病理科医师应提高诊断与鉴别诊断的能力,早期进行积极治疗。

利益冲突 无

#### 参 考 文 献

- [1] Tang GC, Piao YS, Zhao L, Yang H, Lu DH. Intracranial collision tumor[J]. Zhongguo Xian Dai Shen Jing Ji Bing Za Zhi, 2007, 7:52-56.[汤国才, 朴月善, 赵兰, 杨虹, 卢德宏. 颅内碰撞瘤[J]. 中国现代神经疾病杂志, 2007, 7:52-56.]
- [2] Lin MS, Lee CH, Chen SY, Shen CC. Collision brain tumor with atypical meningioma and glioblastoma: case report [J]. Int J Surg Case Rep, 2022, 94:107137.
- [3] Chamberlin K, Chamberlin G, Saunders K, Khagi S. Next-generation sequencing reveals novel mutations in a collision tumor of glioblastoma and meningioma [J]. CNS Oncol, 2021, 10:CNS70.
- [4] Xue YT, Chen HL, Young YH. Comorbidity of cerebellopontine angle meningioma with other primary neoplasms [J]. Acta Otolaryngol, 2021, 141:57-61.

- [5] Graffeo CS, Perry A, Copeland WR 3rd, Giannini C, Neff BA, Driscoll CL, Link MJ. Synchronous tumors of the cerebellopontine angle[J]. *World Neurosurg*, 2017, 98:632-643.
- [6] Cândido DNC, Passos GAR, Rassi MS, de Oliveira JG, Borba LAB. Microsurgical resection of cerebellopontine angle meningioma[J]. *J Neurol Surg B Skull Base*, 2019, 80(Suppl 3): S305-307.
- [7] Adib SD, Tatagiba M. Surgical management of collision-tumors between vestibular schwannoma and meningioma in the cerebellopontine angle in patients with neurofibromatosis type 2 [J]. *Acta Neurochir (Wien)*, 2019, 161:1157-1163.
- [8] Zhao LY, Jiang YN, Wang YB, Bai Y, Sun Y, Li YQ. Coexistent vestibular schwannoma and meningioma in a patient without neurofibromatosis: a case report and review of literature [J]. *World J Clin Cases*, 2021, 9:7251-7260.
- [9] Matyja E, Kunert P, Grajkowska W, Marchel A. Coexistence of meningioma and schwannoma in the same cerebellopontine angle in a patients with NF2[J]. *Folia Neuropathol*, 2012, 50: 166-172.
- [10] Elizabeth J, Menon G, Nair S, Radhakrishnan VV. Mixed tumour of schwannoma and meningioma in a patient with neurofibromatosis-2: a case report[J]. *Neurol India*, 2001, 49: 398-400.
- [11] Wang W, Yang XJ, Li Y, Dong XT, Wang HM, Ming HL, Zhang B, Yu SP. Extraction and purification of tumorigenic Schwann cells in vitro from neurofibromatosis type 2 tissues[J]. *Zhongguo Xian Dai Shen Jing Ji Bing Za Zhi*, 2011, 11:82-87. [王维, 杨学军, 李瑜, 董雪涛, 王华民, 明浩朗, 张斌, 于圣平. II 型神经纤维瘤病肿瘤性许旺细胞提取与纯化的体外研究[J]. *中国现代神经疾病杂志*, 2011, 11:82-87.]
- [12] Ron E, Modan B, Boice JD Jr, Alfandary E, Stovall M, Chetrit A, Katz L. Tumors of the brain and nervous system after radiotherapy in childhood[J]. *N Engl J Med*, 1988, 319:1033-1039.
- [13] Sadetzki S, Modan B, Chetrit A, Freedman L. An iatrogenic epidemic of benign meningioma[J]. *Am J Epidemiol*, 2000, 151: 266-272.
- [14] Sznajder L, Abrahams C, Parry DM, Gierlowski TC, Shore - Freedman E, Schneider AB. Multiple schwannomas and meningiomas associated with irradiation in childhood[J]. *Arch Intern Med*, 1996, 156:1873-1878.
- [15] Izi Y, Secer HI, Gönül E, Ongürü O. Simultaneously occurring vestibular schwannoma and meningioma in the cerebellopontine angle: case report and literature review [J]. *Clin Neuropathol*, 2007, 26:219-223.
- [16] Ferner RE. Neurofibromatosis 1 and neurofibromatosis 2: a twenty first century perspective[J]. *Lancet Neurol*, 2007, 6:340-351.
- [17] Porčnik A, Žele T, Prestor B. Concurrent intradural meningioma and schwannoma at the same lumbar level in a patient without neurofibromatosis: a case report [J]. *Br J Neurosurg*, 2020, 34: 104-106.
- [18] Matsuda S, Kajihara Y, Abiko M, Mitsuahara T, Takeda M, Karlowee V, Yamaguchi S, Amatya VJ, Kurisu K. Concurrent schwannoma and meningioma arising in the same spinal level: a report of two cases[J]. *NMC Case Rep J*, 2018, 5:105-109.
- [19] Liebelt BD, Haider AS, Steele WJ, Krishna C, Blacklock JB. Spinal schwannoma and meningioma mimicking a single mass at the craniocervical junction subsequent to remote radiation therapy for acne vulgaris [J]. *World Neurosurg*, 2016, 93:484. e13-16.
- [20] Nakamizo A, Suzuki SO, Shimogawa T, Amano T, Mizoguchi M, Yoshimoto K, Sasaki T. Concurrent spinal nerve root schwannoma and meningioma mimicking single - component schwannoma[J]. *Neuropathology*, 2012, 32:190-195.
- [21] Geddes JF, Sutcliffe JC, King TT. Mixed cranial nerve tumors in neurofibromatosis type 2[J]. *Clin Neuropathol*, 1995, 14:310-313.
- [22] Lee S, Karas PJ, Hadley CC, Bayley V JC, Khan AB, Jalali A, Sweeney AD, Klisch TJ, Patel AJ. The role of Merlin/NF2 loss in meningioma biology[J]. *Cancers (Basel)*, 2019, 11:1633.
- [23] Sass H, Cayé-Thomasen P. Contemporary molecular biology of sporadic vestibular schwannomas: a systematic review and clinical implications[J]. *J Int Adv Otol*, 2018, 14:322-329.
- [24] Oichi T, Chikuda H, Morikawa T, Mori H, Kitamura D, Higuchi J, Taniguchi Y, Matsubayashi Y, Oshima Y, Tanaka S. Concurrent spinal schwannoma and meningioma mimicking a single cervical dumbbell - shaped tumor: case report [J]. *J Neurosurg Spine*, 2015, 23:784-787.
- [25] Nehete L, Nandeesh BN, Bharath RD, Rao MB, Arimappamagan A. Cerebellopontine angle schwannoma and meningioma in contiguity: surgical implications in neurofibromatosis [J]. *J Neurol Surg A Cent Eur Neurosurg*, 2018, 79:177-180.
- [26] Zhan Z, Yan X, Nie W, Ding Y, Xu W, Huang H. Neurofibroma and meningioma within a single dumbbell-shaped tumor at the same cervical level without neurofibromatosis: a case report and literature review[J]. *World Neurosurg*, 2019, 130:1-6.
- [27] Nguyen DH, Le TD, Nguyen DM, Nguyen HK, Ngo QD, Duong DH, Nguyen MD. Diagnostic performance of quantitative signal intensity measurements on magnetic resonance imaging for distinguishing cerebellopontine angle meningioma from acoustic schwannoma[J]. *Eur Rev Med Pharmacol Sci*, 2022, 26:7115-7124.
- [28] Nagano H, Sakai K, Tazoe J, Yasuike M, Akazawa K, Yamada K. Whole - tumor histogram analysis of DWI and QSI for differentiating between meningioma and schwannoma: a pilot study[J]. *Jpn J Radiol*, 2019, 37:694-700.
- [29] Luryi AL, Michaelides EM, Babu S, Bojrab DI, Kveton JF, Hong RS, Zappia J, Sargent EW, Schutt CA. Reliability of clinical diagnosis of masses of the cerebellopontine angle: a retrospective multi - institutional study [J]. *Am J Otolaryngol*, 2019, 40:133-136.
- [30] Kabashi S, Ugurel MS, Deushi K, Mucaj S. The role of Magnetic Resonance Imaging (MRI) in diagnostics of acoustic schwannoma[J]. *Acta Inform Med*, 2020, 28:287-291.
- [31] Meola A, Chang SD. Bilateral vestibular schwannomas in neurofibromatosis type 2[J]. *N Engl J Med*, 2018, 379:1463.
- [32] Smirniotopoulos JG, Jager HR. Differential diagnosis of intracranial masses [M]//Juerg H, Rahel KHA, von Schulthess GK. Diseases of the brain, head and neck, spine 2020-2023. Barbados: Saint Philip Street Press, 2020: 93-104.
- [33] Grauvogel J, Grauvogel TD, Taschner C, Baumgartner S, Maier W, Kaminsky J. A rare case of radiologically not distinguishable coexistent meningioma and vestibular schwannoma in the cerebellopontine angle: case report and literature review [J]. *Case Rep Neurol*, 2010, 2:111-117.
- [34] Kutz JW, Barnett SL, Hatanpaa KJ, Mendelsohn DB. Concurrent vestibular schwannoma and meningioma mimicking a single cerebellopontine angle tumor[J]. *Skull Base*, 2009, 19: 443-446.
- [35] Jahanbakhshi A, Azar M, Kazemi F, Jalessi M, Chanideh I, Amini E. Gamma Knife stereotactic radiosurgery for cerebellopontine angle meningioma[J]. *Clin Neurol Neurosurg*, 2019, 187:105557.
- [36] Bowden GN, Niranjana A, Lunsford LD. Leksell radiosurgery for

vestibular schwannomas[J]. Prog Neurol Surg, 2019, 34:82-90.

[37] Gendreau JL, Sheaffer K, Macdonald N, Craft - Hacherl C, Araham M, Patel NV, Herschman Y, Lindley JG. Stereotactic radiosurgery for cerebellopontine meningiomas: a systematic review and meta - analysis [J]. Br J Neurosurg, 2022. [Epub ahead of print]

[38] Ramaswamy AT, Golub JS. Management of vestibular schwannomas for the radiologist[J]. Neuroimaging Clin N Am, 2019, 29:173-182.

[39] Wang D, Yue SY. Advances in treatment of vestibular schwannoma and strategy for facial nerve function protection [J]. Zhongguo Xian Dai Shen Jing Ji Bing Za Zhi, 2021, 21: 1111-1117.[王东, 岳树源. 前庭神经鞘瘤面神经功能保护策略及治疗研究进展[J]. 中国现代神经疾病杂志, 2021, 21: 1111-1117.]

(收稿日期:2022-12-19)  
(本文编辑:柏钰)

· 小词典 ·

中英文对照名词词汇(三)

- 微管相关蛋白 tau  
microtubule-associated protein tau(MAPT)
- 微血管减压术 microvascular decompression(MVD)
- 蜗神经动作电位 cochlear nerve action potential(CNAP)
- 无进展生存期 progression free survival(PFS)
- 细胞程序性死亡蛋白 1  
programmed cell death protein 1(PD1)
- 细胞程序性死亡蛋白配体 1  
programmed cell death protein ligand 1(PDL1)
- 细胞角蛋白 cytokeratin(CK)
- 细胞外信号调节激酶  
extracellular signal-regulated kinase(ERK)
- 细胞周期蛋白依赖性激酶抑制基因 2B  
cyclin-dependent kinase inhibitor 2B(CDKN2B)
- 线粒体病 mitochondrial disease(MD)
- 线粒体脑肌病伴高乳酸血症和卒中样发作  
mitochondrial encephalomyopathy with lactic acidemia and stroke-like episodes(MELAS)
- 线粒体隐性共济失调综合征  
mitochondrial recessive ataxia syndrome(MIRAS)
- 相对脑血容量 relative cerebral blood volume(rCBV)
- 行为异常型额颞叶痴呆  
behavioral variant frontotemporal dementia(bvFTD)
- II 型神经纤维瘤病 neurofibromatosis type 2(NF2)
- 虚拟现实 virtual reality(VR)
- 血管内皮生长因子  
vascular endothelial growth factor(VEGF)
- 血管内皮生长因子-A  
vascular endothelial growth factor-A(VEGF-A)
- 血管内皮生长因子受体  
vascular endothelial growth factor receptor(VEGFR)
- 亚急性坏死性脑脊髓病  
sub-acute necrotizing encephalomyelitis(LS)
- 言语识别率 speech discrimination score(SDS)
- 岩静脉 petrosal vein(PV)
- Leber 遗传性视神经病  
Leber's hereditary optic neuropathy(LHON)
- N-乙酰天冬氨酸 N-acetyl-aspartate(NAA)
- 异柠檬酸脱氢酶 1/2 isocitrate dehydrogenase 1/2(IDH1/2)
- 吲哚菁绿荧光血管造影术  
indocyanine green angiography(ICGA)
- 婴儿型脊髓小脑性共济失调  
infantile-onset spinocerebellar ataxia(IOSCA)
- 荧光原位杂交 fluorescence in situ hybridization(FISH)
- 孕激素受体 progesterone receptor(PR)
- 运动诱发电位 motor-evoked potential(MEP)
- 中枢神经系统肿瘤分子信息与分类实践联盟-  
非 WHO 官方组织  
Consortium to Inform Molecular and Practical Approaches  
to Central Nervous System Tumor Taxonomy-Not Official  
WHO(cIMPACT-NOW)
- 肿瘤微环境 tumor microenvironment(TME)
- 重症监护病房 intensive care unit(ICU)
- 椎动脉 vertebral artery(VA)
- 自动解剖分区 anatomical automatic labeling(AAL)
- Kearns-Sayre 综合征 Kearns-Sayre syndrome(KSS)
- 族错误率 family-wise error(FWE)